



NetWorks Sp. z o.o.  
Laboratorium Badań Środowiskowych  
ul. Józefa Piusa Dziekońskiego 3  
00-728 Warszawa  
e-mail: [Laboratorium@networks.pl](mailto:Laboratorium@networks.pl)



AB 419

S P R A W O Z D A N I E 119/2026/OS  
Z POMIARÓW PÓL ELEKTROMAGNETYCZNYCH  
WYKONANYCH DLA POTRZEB OCHRONY ŚRODOWISKA

Badany obiekt: Instalacja radiokomunikacyjna T-Mobile Polska S.A.

Numer i nazwa: 58119 (20119N!) KRZ\_RZESZOW\_GEODETOW1

Adres: RZESZÓW, GEODETÓW 1, Powiat m. Rzeszów, WOJ. PODKARPACKIE

Data wykonania pomiarów: 2026-02-04

Sprawozdanie z badań bez pisemnej zgody laboratorium nie może być powielane inaczej niż w całości.

Wynik przedstawione w niniejszym sprawozdaniu odnoszą się wyłącznie do badanego obiektu i do warunków i konfiguracji urządzeń w dniu wykonywania pomiarów.

**1. Właściciel badanego obiektu:**

T-Mobile Polska S.A., ul. Marynarska 12, 02-674 Warszawa

**2. Zleceniodawca:**

T-Mobile Polska S.A., ul. Marynarska 12, 02-674 Warszawa

**3. Przedstawiciel zleceniodawcy:**

NetWorks Sp. z o.o.

**4. Zakres zlecenia:**

Wykonanie badania i opracowanie sprawozdania z pomiarów natężenia pola elektrycznego i pola magnetycznego dla instalacji radiokomunikacyjnej T-Mobile Polska S.A. zlokalizowanej w miejscowości RZESZÓW, GEODETÓW 1.

**5. Cel zlecenia:**

Wykonanie pomiarów pól elektromagnetycznych w otoczeniu instalacji radiokomunikacyjnej 58119 (20119N!) KRZ\_RZESZOW\_GEODETOW1 w odniesieniu do wymagań określonych w *Rozporządzeniu Ministra Klimatu z dnia 17 lutego 2020 r. w sprawie sposobów sprawdzania dotrzymania dopuszczalnych poziomów pól elektromagnetycznych w środowisku (Dz.U. 2022 poz. 2630)*.

**6. Pomiary zostały wykonane przez:**

Supernak Jacek  
Gucwa Mateusz

**7. Informacje o źródłach pól elektromagnetycznych**

**7.1. Sposób identyfikacji badanych źródeł pól elektromagnetycznych**

Identyfikacji źródeł i parametrów technicznych dokonano na podstawie analizy dokumentacji dotyczącej zlecenia oraz obserwacji miejsca wykonywania badań.

**7.2. Opis miejsca zainstalowania anten i urządzeń technicznych. Opis obiektu badań i jego otoczenia**

Instalacja radiokomunikacyjna zlokalizowana jest na dachu. Anteny zawieszono na masztach usytowanych na dachu budynku. Urządzenia sterujące oraz zasilające zainstalowano w kontenerze na dachu budynku. Wokół instalacji znajduje się miasto.

Instalacja radiokomunikacyjna jest obiektem bezobsługowym. Okresowe stanowiska pracy związane są z prowadzonymi w zależności od potrzeb konserwacjami, przeglądami, strojeniem i naprawami.

### 7.3. Parametry techniczne źródła pola elektromagnetycznego

Dane przedstawiające maksymalne parametry pracy instalacji przekazane przez zleceniodawcę:

Parametry systemu nadawczo-odbiorczego:

Charakterystyka promieniowania		Kierunkowa					
Rzeczywisty czas pracy [h/dobę]		24					
Warunki pracy		Znamionowe					
Rodzaj wytwarzanego pola		Stacjonarne					
Lp.	Częstotliwość lub zakresy częstotliwości pracy [MHz]	Typ/producent anteny	liczba anten	Azymut [°]	kąt pochylecia [°]	Wysokość środka elektrycznego anteny [m n.p.t.]	Równoważna moc promieniowana izotropowo (EIRP) [W]
1	3600	AAU5349 Huawei	1	20	0-10**	61	57572
2	800/900/1800/2100	ATR4518R13v06 Huawei	1	20	4-18**/4-18**/4-18**/4-18**	61	19443
3	800/900/2600	ATR4518R13v06 Huawei	1	20	4-18**/4-18**/4-18**	61	13500
4	3600	AAU5349 Huawei	1	130	0-10**	61	57572
5	800/900/1800/2100	ATR4518R6v06 Huawei	1	130	0-14**/0-14**/0-14**/0-14**	61	20811
6	800/900/2600	ATR4518R6 Huawei	1	130	0-14**/0-14**/0-14**	61	14631
7	3600	AAU5349 Huawei	1	240	0-10**	61.5	57572
8	800/900/1800/2100	ATR4518R6v06 Huawei	1	240	0-14**/0-14**/0-14**/0-14**	61.5	20811
9	800/900/2600	ATR4518R6 Huawei	1	240	0-14**/0-14**/0-14**	61.5	14631

\* wskazane wartości kąta pochylecia anten, zgodnie z informacją uzyskaną od zleceniodawcy, są wartościami stałymi  
 \*\* pomiary wykonano zgodnie z pkt 13., ppkt 2 załącznika do Rozporządzenia Ministra Klimatu z dnia 17 lutego 2020 r. (Dz. U. 2022, poz. 2630).

Parametry radiolinii:

Charakterystyka promieniowania		kierunkowa					
Rzeczywisty czas pracy [h/dobę]		24					
Warunki pracy		znamionowe					
Rodzaj wytwarzanego pola		stacjonarne					
Lp.	Linia radiowa			Antena			
	Typ/ Producent	Częstotliwość pracy [GHz]	Równoważna moc promieniowana izotropowo (EIRP) [W]	Typ/ producent	Średnica anteny [m]	Azymut [°]	Wysokość zainstalowania n.p.t [m]
1.	NEC iPasolink 100E	38	15	VHLP1-38 Andrew	0.3	42	62
2.	Huawei RTN 905 2E PRO XMC-3 Huawei	32	13	A32S03M-3X Andrew	0.3	43	60.9
3.	NEC iPasolink 100E	38	15	VHLP1-38 Andrew	0.3	56	60
4.	Huawei RTN 905S XMC-3 Huawei	32	1	A32S03M-3X Andrew	0.3	88	62
5.	RTN XMC-3E 23G 28MHz XPIC/RTN 380AX 70/80GHz 250MHz Huawei	23/80	9355/6310	A23D80S06 Huawei	0.6	97	61

Sprawozdanie z badań bez pisemnej zgody laboratorium nie może być powielane inaczej niż w całości.  
 Wynik przedstawione w niniejszym sprawozdaniu odnoszą się wyłącznie do badanego obiektu i do warunków i konfiguracji urządzeń w dniu wykonywania pomiarów.

Charakterystyka promieniowania			kierunkowa				
Rzeczywisty czas pracy [h/dobę]			24				
Warunki pracy			znamionowe				
Rodzaj wytwarzanego pola			stacjonarne				
Lp.	Linia radiowa			Antena			
	Typ/ Producent	Częstotliwość pracy [GHz]	Równoważna moc promieniowana izotropowo (EIRP) [W]	Typ/ producent	Średnica anteny [m]	Azymut [°]	Wysokość zainstalowania n.p.t [m]
6.	NEC iPasolink 100E	38	4	VHLP1-38 Andrew	0.3	168	60.4
7.	Huawei Optix RTN 380AX Huawei	80	26	A80S03 Huawei	0.3	198	60.2
8.	RTN XMC-5D 23G 28MHz XPIC/RTN 380AX DC 70/80GHz 250MHz Huawei	23/80	11247/6310	A23D80S06 Huawei	0.6	203	62
9.	NEC iPasolink 100E	38	4	VHLP1-38 Andrew	0.3	212	59.8
10.	NEC iPasolink 200	32	4	VHLP1-32 Andrew	0.3	232	60.4
11.	NEC iPasolink 100E	38	12	VHLP1-38 Andrew	0.3	327	61.9
12.	RTN 380AX 70/80GHz 500MHz Huawei	80	7080	A80S06 Huawei	0.6	351	62
13.	NEC iPasolink 100E	38	708	VHLP1-38 Andrew	0.3	353	61

#### 7.4 Inne źródła pól elektromagnetycznych

Na podstawie informacji otrzymanych od użytkownika oraz obserwacji otoczenia miejsca wykonywania pomiarów stwierdzono występowanie innych źródeł pola-EM, pracujących w systemach: telefonii komórkowej (800MHz-3800MHz), które istotnie wpływają na wyniki pomiarów. Zidentyfikowano również źródła pola-EM: linii radiowych (5GHz-90GHz), które nie wpływają istotnie na wyniki pomiarów.

### 8. Opis pomiarów

#### 8.1. Metoda badań

Zgodna z rozporządzeniem Ministra Klimatu z dnia 17 lutego 2020 r. w sprawie sposobów sprawdzania dotrzymania dopuszczalnych poziomów pól elektromagnetycznych w środowisku (Dz.U. 2022 poz. 2630), określona w pkt 25 ppkt 1 załącznika do niniejszego rozporządzenia.

#### 8.2. Termin pomiarów i warunki środowiskowe

Podczas wykonywania pomiarów pól elektromagnetycznych nie występowały opady atmosferyczne. Wyniki pomiaru parametrów pogodowych przedstawia poniższa tabela:

Data [rrrr-mm-dd]	Godzina [hh:mm-hh:mm]	Warunki środowiskowe			
		Temperatura [°C]		Wilgotność względna [%]	
2026-02-04	13:00-14:30	Przed pomiarem	Po pomiarach	Przed pomiarem	Po pomiarach
		1.1	0.9	72.4	72.5

Przedstawione wyżej warunki środowiskowe, występujące podczas wykonywania pomiarów pól elektromagnetycznych, są zgodne ze specyfikacją techniczną użytego zestawu pomiarowego.

Sprawozdanie z badań bez pisemnej zgody laboratorium nie może być powielane inaczej niż w całości.  
 Wynik przedstawione w niniejszym sprawozdaniu odnoszą się wyłącznie do badanego obiektu i do warunków i konfiguracji urządzeń w dniu wykonywania pomiarów.

### 8.3. Warunki pracy urządzeń nadawczych

Podczas pomiarów w przypadku uzyskania wyniku pomiaru szerokopasmowego wykonanego zastosowaną metodą, dla zakresów częstotliwości od 10 MHz do 300 GHz, powiększonego o rozszerzoną niepewność pomiaru  $U$  dla współczynnika rozszerzenia  $k = 2$  przekraczającego 70% najniższej dopuszczalnej wartości składowej elektrycznej lub magnetycznej pola dla objętych pomiarami zakresów częstotliwości, uwzględnia się poprawki pomiarowe przekazane przez zleceniodawcę, umożliwiające uwzględnienie maksymalnych parametrów pracy instalacji zgodnie z pkt 7 załącznika do Rozporządzeniem Ministra Klimatu z dnia 17 lutego 2020 r. w sprawie sposobów sprawdzania dotrzymania dopuszczalnych poziomów pól elektromagnetycznych w środowisku (Dz. U. 2022, poz. 2630) zaznaczając, że wymagane jest wykonanie pomiaru z wykorzystaniem miernika selektywnego. W przypadku uzyskania wyniku pomiaru szerokopasmowego wykonanego zastosowaną metodą, dla zakresów częstotliwości od 10 MHz do 300 GHz, powiększonego o rozszerzoną niepewność pomiaru  $U$  dla współczynnika rozszerzenia  $k = 2$  nieprzekraczającego 70% najniższej dopuszczalnej wartości składowej elektrycznej lub magnetycznej pola dla objętych pomiarami zakresów częstotliwości, nie uwzględnia się poprawek pomiarowych.

### 8.4. Wyposażenie pomiarowe

Zestaw pomiarowy służący do pomiaru natężenia składowej elektrycznej pola elektromagnetycznego złożony z szerokopasmowego miernika i sondy pomiarowej:

Oznaczenie miernika	Producent	Model	Numer fabryczny	Oznaczenie sondy	Producent	Model	Numer fabryczny
MW-09	Wavecontrol	Miernik pól elektromagnetycznych SMP3	23SL0221	SW-17	Wavecontrol	Sonda WPF90	23WP260005

Mierniki natężenia pola elektromagnetycznego podlegają okresowemu sprawdzeniu zgodnie z procedurą wewnętrzną P-03 i PB-01. Świadectwo wzorcowania zestawu pomiarowego z dnia 8 września 2025 o numerze LWiMP/W/328/25 wydane przez Politechnika Wrocławską. Data ważności świadectwa wzorcowania: 7 września 2027 (zgodnie z procedurą wewnętrzną P-03).

Oznaczenie miernika	Producent	Model	Numer fabryczny	Oznaczenie sondy	Producent	Model	Numer fabryczny
MW-09	Wavecontrol	Miernik pól elektromagnetycznych SMP3	23SL0221	SW-18	Wavecontrol	Sonda WPF6-HP	23WP060414

Mierniki natężenia pola elektromagnetycznego podlegają okresowemu sprawdzeniu zgodnie z procedurą wewnętrzną P-03 i PB-01. Świadectwo wzorcowania zestawu pomiarowego z dnia 8 września 2025 o numerze LWiMP/W/328/25 wydane przez Politechnika Wrocławską. Data ważności świadectwa wzorcowania: 7 września 2027 (zgodnie z procedurą wewnętrzną P-03).

#### Termohigrometr:

Oznaczenie:	TH-32	Producent:	TESTO	Model:	Termohigrometr TESTO 625
-------------	-------	------------	-------	--------	--------------------------

Data ważności świadectwa wzorcowania: 20 lutego 2028 (zgodnie z procedurą wewnętrzną P-03).

#### Dalmierz:

Oznaczenie	Producent	Typ	Numer seryjny	Nr świadectwa wzorcowania	Data świadectwa wzorcowania
D-01	Leica	Dalmierz Leica Disto X310	843810238	Z3- Z32.4180.34.2025.826.7	3 kwietnia 2025

Data ważności świadectwa wzorcowania: 3 kwietnia 2035 (zgodnie z procedurą wewnętrzną P-03).

#### Odbiornik GNSS:

Odbiornik GNSS wbudowany w miernik natężenia pola elektromagnetycznego użyty podczas pomiarów	Producent	Model
	UBlox	MAX-M8Q

Odbiorniki podlegają okresowemu sprawdzeniu zgodnie z procedurą wewnętrzną P-03.

Sprawozdanie z badań bez pisemnej zgody laboratorium nie może być powielane inaczej niż w całości.  
Wynik przedstawione w niniejszym sprawozdaniu odnoszą się wyłącznie do badanego obiektu i do warunków i konfiguracji urządzeń w dniu wykonywania pomiarów.

## 9. Wyniki pomiarów

### Pole elektryczne

Nr pionu	Opis umiejscowienia pionu (punktu) pomiarowego	Wysokość pomiaru [m]	Zmierzona wartość natężenia pola elektrycznego E [V/m] <sup>1,5</sup>			Wartość natężenia pola elektrycznego powiększona o niepewność pomiaru <sup>4</sup> E [V/m]	Wskaźnikowa wartość poziomu emisji pól elektromagnetycznych WME <sup>3</sup>	Współrzędne geograficzne pionu (punktu) pomiarowego <sup>2</sup>
			Sonda SW-17	Sonda SW-18	Wartość			
1	DPP - w uchylonym oknie klatki schodowej, piętro 14, Geodetów 1, Rzeszów	0.3-2.0	<1.0*	<1.0*	<1.0*	1.3	0.05	50°1'20.3" 22°1'10.2"
2	DPP - w uchylonym oknie biura, nr 1411 piętro 14, Geodetów 1, Rzeszów	0.3-2.0	<1.0*	<1.0*	<1.0*	1.3	0.05	50°1'20.3" 22°1'9.1"
3	DPP - w uchylonym oknie biura, piętro 2, Geodetów 3, Rzeszów	2.0	1.4	1.4	1.4	1.8	0.06	50°1'19.2" 22°1'9.5"
4	DPP - w uchylonym oknie sklepu, piętro 1, Geodetów 4, Rzeszów	0.3-2.0	<1.0*	<1.0*	<1.0*	1.3	0.05	50°1'19.2" 22°1'7.7"
5	DPP - w uchylonym oknie biura nr 16, piętro 2, Geodetów 3, Rzeszów	0.3-2.0	<1.0*	<1.0*	<1.0*	1.3	0.05	50°1'19.2" 22°1'12.0"
6	GKP w odległości poziomej 23m od anteny sektorowej az. 240°	2.0	1.4	1.4	1.4	1.8	0.06	50°1'20.3" 22°1'8.4"
7	GKP w odległości poziomej 72m od anteny sektorowej az. 240°	2.0	2.0	2.0	2.0	2.6	0.09	50°1'19.6" 22°1'6.2"
8	GKP w odległości poziomej 125m od anteny sektorowej az. 240°	2.0	<b>2.6</b>	<b>2.6</b>	<b>2.6</b>	3.3	0.12	50°1'18.5" 22°1'3.7"
9	DPP - w uchylonym oknie męskiej toalety, piętro 4, Geodetów 1, Rzeszów	0.3-2.0	<1.0*	<1.0*	<1.0*	1.3	0.05	50°1'22.1" 22°1'9.8"
10	DPP - w uchylonym oknie biura nr 413, piętro 4, Geodetów 1, Rzeszów	2.0	2.0	2.0	2.0	2.6	0.09	50°1'22.4" 22°1'9.5"
11	GKP w odległości poziomej 24m od anteny sektorowej az. 20°	0.3-2.0	<1.0*	<1.0*	<1.0*	1.3	0.05	50°1'21.4" 22°1'10.6"
12	GKP w odległości poziomej 80m od anteny sektorowej az. 20°	0.3-2.0	<1.0*	<1.0*	<1.0*	1.3	0.05	50°1'23.2" 22°1'11.6"
13	GKP w odległości poziomej 51m od anteny radioliniowej az. 327°	2.0	1.7	1.7	1.7	2.2	0.08	50°1'22.1" 22°1'8.0"
14	GKP w odległości poziomej 60m od anteny radioliniowej az. 351°	2.0	1.4	1.4	1.4	1.8	0.06	50°1'22.8" 22°1'9.1"
15	GKP w odległości poziomej 75m od anteny radioliniowej az. 42°	0.3-2.0	<1.0*	<1.0*	<1.0*	1.3	0.05	50°1'22.4" 22°1'12.0"
16	GKP w odległości poziomej 48m od anteny radioliniowej az. 43°	0.3-2.0	<1.0*	<1.0*	<1.0*	1.3	0.05	50°1'21.7" 22°1'12.0"

Sprawozdanie z badań bez pisemnej zgody laboratorium nie może być powielane inaczej niż w całości.

Wynik przedstawione w niniejszym sprawozdaniu odnoszą się wyłącznie do badanego obiektu i do warunków i konfiguracji urządzeń w dniu wykonywania pomiarów.

17	GKP w odległości poziomej 40m od anteny radioliniowej az. 56°	0.3-2.0	<1.0*	<1.0*	<1.0*	1.3	0.05	50°1'21.4" 22°1'12.0"
18	GKP w odległości poziomej 50m od anteny radioliniowej az. 88°	0.3-2.0	<1.0*	<1.0*	<1.0*	1.3	0.05	50°1'20.6" 22°1'12.7"
19	GKP w odległości poziomej 52m od anteny radioliniowej az. 97°	0.3-2.0	<1.0*	<1.0*	<1.0*	1.3	0.05	50°1'20.6" 22°1'13.1"
20	PKP na az. 66° w odległości poziomej 31m od anteny sektorowej az. 20°	0.3-2.0	<1.0*	<1.0*	<1.0*	1.3	0.05	50°1'21.0" 22°1'11.6"
21	PKP na az. 35° w odległości poziomej 56m od anteny sektorowej az. 20°	0.3-2.0	<1.0*	<1.0*	<1.0*	1.3	0.05	50°1'22.1" 22°1'12.0"
22	PKP na az. 5° w odległości poziomej 54m od anteny sektorowej az. 20°	2.0	1.3	1.3	1.3	1.7	0.06	50°1'22.4" 22°1'10.6"
23	GKP w odległości poziomej 70m od anteny radioliniowej az. 353°	0.3-2.0	<1.0*	<1.0*	<1.0*	1.3	0.05	50°1'23.2" 22°1'9.8"
24	PKP na az. 334° w odległości poziomej 63m od anteny sektorowej az. 20°	2.0	1.5	1.5	1.5	1.9	0.07	50°1'22.4" 22°1'8.8"
25	GKP w odległości poziomej 109m od anteny sektorowej az. 20°	2.0	1.3	<1.3*	1.3	1.7	0.06	50°1'24.2" 22°1'12.0"
26	GKP w odległości poziomej 139m od anteny sektorowej az. 20°	0.3-2.0	<1.0*	<1.0*	<1.0*	1.3	0.05	50°1'25.0" 22°1'12.7"
27	PKP na az. 286° w odległości poziomej 42m od anteny sektorowej az. 240°	2.0	1.8	1.8	1.8	2.3	0.08	50°1'21.0" 22°1'7.3"
28	PKP na az. 270° w odległości poziomej 56m od anteny sektorowej az. 240°	2.0	1.9	1.9	1.9	2.4	0.09	50°1'20.6" 22°1'6.6"
29	PKP na az. 260° w odległości poziomej 81m od anteny sektorowej az. 240°, narożnik parterowego sklepu	2.0	2.0	2.0	2.0	2.6	0.09	50°1'20.3" 22°1'5.2"
30	GKP w odległości poziomej 36m od anteny radioliniowej az. 232°	2.0	1.5	1.5	1.5	1.9	0.07	50°1'19.9" 22°1'8.0"
31	GKP w odległości poziomej 48m od anteny radioliniowej az. 212°	2.0	1.7	1.7	1.7	2.2	0.08	50°1'19.2" 22°1'8.0"
32	GKP w odległości poziomej 48m od anteny radioliniowej az. 198°	2.0	1.6	1.6	1.6	2.1	0.07	50°1'19.2" 22°1'8.4"
33	GKP w odległości poziomej 35m od anteny radioliniowej az. 203°	2.0	1.4	1.4	1.4	1.8	0.06	50°1'18.8" 22°1'9.1"
34	GKP w odległości poziomej 13m od anteny radioliniowej az. 168°	2.0	1.2	1.2	1.2	1.5	0.05	50°1'19.6" 22°1'9.8"
35	PKP na az. 176° w odległości poziomej 66m od anteny sektorowej az. 130°	0.3-2.0	<1.0*	<1.0*	<1.0*	1.3	0.05	50°1'17.8" 22°1'10.2"

Sprawozdanie z badań bez pisemnej zgody laboratorium nie może być powielane inaczej niż w całości.  
 Wynik przedstawione w niniejszym sprawozdaniu odnoszą się wyłącznie do badanego obiektu i do warunków i konfiguracji urządzeń w dniu wykonywania pomiarów.

36	PKP na az. 160° w odległości poziomej 67m od anteny sektorowej az. 130°	0.3-2.0	<1.0*	<1.0*	<1.0*	1.3	0.05	50°1'17.8" 22°1'11.3"
37	GKP w odległości poziomej 16m od anteny sektorowej az. 130°	0.3-2.0	<1.0*	<1.0*	<1.0*	1.3	0.05	50°1'19.6" 22°1'10.2"
38	GKP w odległości poziomej 18m od anteny sektorowej az. 130°	0.3-2.0	<1.0*	<1.0*	<1.0*	1.3	0.05	50°1'19.6" 22°1'10.6"
39	GKP w odległości poziomej 82m od anteny sektorowej az. 130°	0.3-2.0	<1.0*	<1.0*	<1.0*	1.3	0.05	50°1'18.1" 22°1'13.1"
40	GKP w odległości poziomej 99m od anteny sektorowej az. 130°	0.3-2.0	<1.0*	<1.0*	<1.0*	1.3	0.05	50°1'17.8" 22°1'13.4"
41	GKP w odległości poziomej 75m od anteny sektorowej az. 130°	0.3-2.0	<1.0*	<1.0*	<1.0*	1.3	0.05	50°1'18.1" 22°1'12.7"
42	PKP na az. 115° w odległości poziomej 62m od anteny sektorowej az. 130°	0.3-2.0	<1.0*	<1.0*	<1.0*	1.3	0.05	50°1'18.8" 22°1'12.7"
43	PKP na az. 100° w odległości poziomej 53m od anteny sektorowej az. 130°	0.3-2.0	<1.0*	<1.0*	<1.0*	1.3	0.05	50°1'19.6" 22°1'12.7"
44	PKP na az. 84° w odległości poziomej 45m od anteny sektorowej az. 130°	2.0	1.2	1.2	1.2	1.5	0.05	50°1'19.9" 22°1'12.4"
-	GKP w odległości poziomej 349m od anteny sektorowej az. 20°	0.3-2.0	<1.0*	<1.0*	<1.0*	1.3	0.05	50°1'31.4" 22°1'16.3"
-	GKP w odległości poziomej 346m od anteny sektorowej az. 130°	2.0	1.3	1.3	1.3	1.7	0.06	50°1'12.7" 22°1'23.2"
-	GKP w odległości poziomej 430m od anteny sektorowej az. 240°	0.3-2.0	<1.0*	<1.0*	<1.0*	1.3	0.05	50°1'13.8" 22°0'50.8"

Pole magnetyczne (wyznaczone na podstawie pomiaru wartości natężenia pola elektrycznego)

Nr pionu	Opis umiejscowienia pionu (punktu pomiarowego)	Wysokość pomiaru [m]	Wartość natężenia pola magnetycznego H [A/m] <sup>1</sup>			Wartość natężenia pola magnetycznego powiększona o niepewność pomiaru <sup>4</sup> H [A/m]	Wskaźnikowa wartość poziomu emisji pól elektromagnetycznych WM <sub>H</sub> <sup>3</sup>	Współrzędne geograficzne pionu (punktu pomiarowego) <sup>2</sup>
			Sonda SW-17	Sonda SW-18	Wartość			
1	DPP - w uchyłonym oknie klatki schodowej, piętro 14, Geodetów 1, Rzeszów	0.3-2.0	<0.003*	<0.003*	<0.003*	0.003	0.05	50°1'20.3" 22°1'10.2"
2	DPP - w uchyłonym oknie biura, nr 1411 piętro 14, Geodetów 1, Rzeszów	0.3-2.0	<0.003*	<0.003*	<0.003*	0.003	0.05	50°1'20.3" 22°1'9.1"
3	DPP - w uchyłonym oknie biura, piętro 2, Geodetów 3, Rzeszów	2.0	0.004	0.004	0.004	0.005	0.07	50°1'19.2" 22°1'9.5"
4	DPP - w uchyłonym oknie sklepu, piętro 1, Geodetów 4, Rzeszów	0.3-2.0	<0.003*	<0.003*	<0.003*	0.003	0.05	50°1'19.2" 22°1'7.7"
5	DPP - w uchyłonym oknie biura nr 16, piętro 2, Geodetów 3, Rzeszów	0.3-2.0	<0.003*	<0.003*	<0.003*	0.003	0.05	50°1'19.2" 22°1'12.0"

Sprawozdanie z badań bez pisemnej zgody laboratorium nie może być powielane inaczej niż w całości.  
 Wynik przedstawione w niniejszym sprawozdaniu odnoszą się wyłącznie do badanego obiektu i do warunków i konfiguracji urządzeń w dniu wykonywania pomiarów.

6	GKP w odległości poziomej 23m od anteny sektorowej az. 240°	2.0	0.004	0.004	0.004	0.005	0.07	50°1'20.3" 22°1'8.4"
7	GKP w odległości poziomej 72m od anteny sektorowej az. 240°	2.0	0.005	0.005	0.005	0.007	0.09	50°1'19.6" 22°1'6.2"
8	GKP w odległości poziomej 125m od anteny sektorowej az. 240°	2.0	<b>0.007</b>	<b>0.007</b>	0.007	0.009	0.12	50°1'18.5" 22°1'3.7"
9	DPP - w uchylonym oknie męskiej toalety, piętro 4, Geodetów 1, Rzeszów	0.3-2.0	<0.003*	<0.003*	<0.003*	0.003	0.05	50°1'22.1" 22°1'9.8"
10	DPP - w uchylonym oknie biura nr 413, piętro 4, Geodetów 1, Rzeszów	2.0	0.005	0.005	0.005	0.007	0.09	50°1'22.4" 22°1'9.5"
11	GKP w odległości poziomej 24m od anteny sektorowej az. 20°	0.3-2.0	<0.003*	<0.003*	<0.003*	0.003	0.05	50°1'21.4" 22°1'10.6"
12	GKP w odległości poziomej 80m od anteny sektorowej az. 20°	0.3-2.0	<0.003*	<0.003*	<0.003*	0.003	0.05	50°1'23.2" 22°1'11.6"
13	GKP w odległości poziomej 51m od anteny radioliniowej az. 327°	2.0	0.005	0.005	0.005	0.006	0.08	50°1'22.1" 22°1'8.0"
14	GKP w odległości poziomej 60m od anteny radioliniowej az. 351°	2.0	0.004	0.004	0.004	0.005	0.07	50°1'22.8" 22°1'9.1"
15	GKP w odległości poziomej 75m od anteny radioliniowej az. 42°	0.3-2.0	<0.003*	<0.003*	<0.003*	0.003	0.05	50°1'22.4" 22°1'12.0"
16	GKP w odległości poziomej 48m od anteny radioliniowej az. 43°	0.3-2.0	<0.003*	<0.003*	<0.003*	0.003	0.05	50°1'21.7" 22°1'12.0"
17	GKP w odległości poziomej 40m od anteny radioliniowej az. 56°	0.3-2.0	<0.003*	<0.003*	<0.003*	0.003	0.05	50°1'21.4" 22°1'12.0"
18	GKP w odległości poziomej 50m od anteny radioliniowej az. 88°	0.3-2.0	<0.003*	<0.003*	<0.003*	0.003	0.05	50°1'20.6" 22°1'12.7"
19	GKP w odległości poziomej 52m od anteny radioliniowej az. 97°	0.3-2.0	<0.003*	<0.003*	<0.003*	0.003	0.05	50°1'20.6" 22°1'13.1"
20	PKP na az. 66° w odległości poziomej 31m od anteny sektorowej az. 20°	0.3-2.0	<0.003*	<0.003*	<0.003*	0.003	0.05	50°1'21.0" 22°1'11.6"
21	PKP na az. 35° w odległości poziomej 56m od anteny sektorowej az. 20°	0.3-2.0	<0.003*	<0.003*	<0.003*	0.003	0.05	50°1'22.1" 22°1'12.0"
22	PKP na az. 5° w odległości poziomej 54m od anteny sektorowej az. 20°	2.0	0.003	0.003	0.003	0.004	0.06	50°1'22.4" 22°1'10.6"
23	GKP w odległości poziomej 70m od anteny radioliniowej az. 353°	0.3-2.0	<0.003*	<0.003*	<0.003*	0.003	0.05	50°1'23.2" 22°1'9.8"
24	PKP na az. 334° w odległości poziomej 63m od anteny sektorowej az. 20°	2.0	0.004	0.004	0.004	0.005	0.07	50°1'22.4" 22°1'8.8"

Sprawozdanie z badań bez pisemnej zgody laboratorium nie może być powielane inaczej niż w całości.  
 Wynik przedstawione w niniejszym sprawozdaniu odnoszą się wyłącznie do badanego obiektu i do warunków i konfiguracji urządzeń w dniu wykonywania pomiarów.

25	GKP w odległości poziomej 109m od anteny sektorowej az. 20°	2.0	0.003	<0.003*	0.003	0.004	0.06	50°1'24.2" 22°1'12.0"
26	GKP w odległości poziomej 139m od anteny sektorowej az. 20°	0.3-2.0	<0.003*	<0.003*	<0.003*	0.003	0.05	50°1'25.0" 22°1'12.7"
27	PKP na az. 286° w odległości poziomej 42m od anteny sektorowej az. 240°	2.0	0.005	0.005	0.005	0.006	0.08	50°1'21.0" 22°1'7.3"
28	PKP na az. 270° w odległości poziomej 56m od anteny sektorowej az. 240°	2.0	0.005	0.005	0.005	0.006	0.09	50°1'20.6" 22°1'6.6"
29	PKP na az. 260° w odległości poziomej 81m od anteny sektorowej az. 240°, narożnik parterowego sklepu	2.0	0.005	0.005	0.005	0.007	0.09	50°1'20.3" 22°1'5.2"
30	GKP w odległości poziomej 36m od anteny radioliniowej az. 232°	2.0	0.004	0.004	0.004	0.005	0.07	50°1'19.9" 22°1'8.0"
31	GKP w odległości poziomej 48m od anteny radioliniowej az. 212°	2.0	0.005	0.005	0.005	0.006	0.08	50°1'19.2" 22°1'8.0"
32	GKP w odległości poziomej 48m od anteny radioliniowej az. 198°	2.0	0.004	0.004	0.004	0.005	0.07	50°1'19.2" 22°1'8.4"
33	GKP w odległości poziomej 35m od anteny radioliniowej az. 203°	2.0	0.004	0.004	0.004	0.005	0.07	50°1'18.8" 22°1'9.1"
34	GKP w odległości poziomej 13m od anteny radioliniowej az. 168°	2.0	0.003	0.003	0.003	0.004	0.06	50°1'19.6" 22°1'9.8"
35	PKP na az. 176° w odległości poziomej 66m od anteny sektorowej az. 130°	0.3-2.0	<0.003*	<0.003*	<0.003*	0.003	0.05	50°1'17.8" 22°1'10.2"
36	PKP na az. 160° w odległości poziomej 67m od anteny sektorowej az. 130°	0.3-2.0	<0.003*	<0.003*	<0.003*	0.003	0.05	50°1'17.8" 22°1'11.3"
37	GKP w odległości poziomej 16m od anteny sektorowej az. 130°	0.3-2.0	<0.003*	<0.003*	<0.003*	0.003	0.05	50°1'19.6" 22°1'10.2"
38	GKP w odległości poziomej 18m od anteny sektorowej az. 130°	0.3-2.0	<0.003*	<0.003*	<0.003*	0.003	0.05	50°1'19.6" 22°1'10.6"
39	GKP w odległości poziomej 82m od anteny sektorowej az. 130°	0.3-2.0	<0.003*	<0.003*	<0.003*	0.003	0.05	50°1'18.1" 22°1'13.1"
40	GKP w odległości poziomej 99m od anteny sektorowej az. 130°	0.3-2.0	<0.003*	<0.003*	<0.003*	0.003	0.05	50°1'17.8" 22°1'13.4"
41	GKP w odległości poziomej 75m od anteny sektorowej az. 130°	0.3-2.0	<0.003*	<0.003*	<0.003*	0.003	0.05	50°1'18.1" 22°1'12.7"
42	PKP na az. 115° w odległości poziomej 62m od anteny sektorowej az. 130°	0.3-2.0	<0.003*	<0.003*	<0.003*	0.003	0.05	50°1'18.8" 22°1'12.7"
43	PKP na az. 100° w odległości poziomej 53m od anteny sektorowej az. 130°	0.3-2.0	<0.003*	<0.003*	<0.003*	0.003	0.05	50°1'19.6" 22°1'12.7"

Sprawozdanie z badań bez pisemnej zgody laboratorium nie może być powielane inaczej niż w całości.  
 Wynik przedstawione w niniejszym sprawozdaniu odnoszą się wyłącznie do badanego obiektu i do warunków i konfiguracji urządzeń w dniu wykonywania pomiarów.

44	PKP na az. 84° w odległości poziomej 45m od anteny sektorowej az. 130°	2.0	0.003	0.003	0.003	0.004	0.06	50°1'19.9" 22°1'12.4"
-	GKP w odległości poziomej 349m od anteny sektorowej az. 20°	0.3-2.0	<0.003*	<0.003*	<0.003*	0.003	0.05	50°1'31.4" 22°1'16.3"
-	GKP w odległości poziomej 346m od anteny sektorowej az. 130°	2.0	0.003	0.003	0.003	0.004	0.06	50°1'12.7" 22°1'23.2"
-	GKP w odległości poziomej 430m od anteny sektorowej az. 240°	0.3-2.0	<0.003*	<0.003*	<0.003*	0.003	0.05	50°1'13.8" 22°0'50.8"

GKP – Główny Kierunek Pomiarowy

DPP – Dodatkowy Pion Pomiarowy

PKP – Pomocniczy Kierunek Pomiarowy

<sup>1</sup> wyniki oznaczone \* są wynikami poniżej czułości zestawu pomiarowego i są wynikami spoza zakresu akredytacji. Do obliczenia wyniku skorygowanego przyjęto wartość skorelowaną z rzeczywistym wynikiem pomiaru - dolną granicę akredytowanego zakresu pomiarowego metody

<sup>2</sup> współrzędne geograficzne pozyskane metodą pomiaru bezpośredniego

<sup>3</sup> do wyznaczenia wartości wskaźnikowej  $W_{ME}$  i  $W_{MH}$  przyjęto na podstawie uzgodnień z klientem oraz rozpoznania źródeł, jako wartości dopuszczalne pola elektrycznego i magnetycznego odpowiednio 28 V/m i 0,073 A/m.

<sup>4</sup> do wyznaczenia niepewności dla wyników poniżej czułości zestawu pomiarowego, przyjęto niepewność dla minimalnej wartości z zakresu pomiarowego.

<sup>5</sup> maksymalna wartość chwilowa

Niepewność oszacowano zgodnie z dokumentem P-03 „Procedura nadzoru nad wyposażeniem” w postaci niepewności rozszerzonej wynikającej z niepewności standardowej pomnożonej przez współczynnik rozszerzenia  $k=2$ .

Całkowita szacowana niepewność rozszerzona składowej E wynosi odpowiednio:

sonda SW-17: 28.3% dla częstotliwości do 4 GHz, sonda SW-18: 28.2% dla częstotliwości do 4 GHz

Pomiar wykonany metodą 2 sond, opisaną w artykule Medycyna Pracy 2015;66(5):701-712 „Optymalizacja metodyki pomiaru wieloczęstotliwościowego pola elektromagnetycznego stacji bazowych telefonii komórkowej”.

Umiejscowienie pionów (punktów) pomiarowych przedstawiono w załączniku nr 2 do niniejszego sprawozdania.

Pomiary wykonano na terenach przeznaczonych pod zabudowę mieszkaniową w obszarze pomiarowym, w którym na podstawie uprzednio przeprowadzonych obliczeń, stwierdzono występowanie w danych zakresach częstotliwości pól elektromagnetycznych o poziomach zbliżonych do poziomów dopuszczalnych, określonych w przepisach wydanych na podstawie art. 122 ust. 1 ustawy z dnia 27 kwietnia 2001 r. – Prawo ochrony środowiska.

## 10. Omówienie wyników pomiarów

W związku z tym, że żadna z wartości zmierzonych, udokumentowanych w tabelach w pkt. 9, uzyskanych w skutek zastosowania pomiaru szerokopasmowego, powiększonego o rozszerzoną niepewność pomiaru  $U$  dla współczynnika rozszerzenia  $k = 2$  nie przekroczyła 70% najniższej dopuszczalnej wartości składowej elektrycznej lub magnetycznej pola dla objętych pomiarami zakresów częstotliwości, nie uwzględnia się poprawek pomiarowych.

W wyniku zastosowania sposobu sprawdzenia dotrzymania dopuszczalnych poziomów pól elektromagnetycznych w środowisku, zgodnie pkt 25 ppkt 1 Rozporządzenia Ministra Klimatu z dnia 17 lutego 2020 r. (Dz. U. 2022, poz. 2630), w związku z tym, że żadna z wartości wskaźnikowych, udokumentowanych w tabelach w pkt. 9 nie przekracza wartości 1, stwierdza się, że w miejscach, w których wykonano pomiary w otoczeniu instalacji radiokomunikacyjnej 58119 (20119N!) KRZ\_RZESZOW\_GEODETOW1, dopuszczalne poziomy pól elektromagnetycznych w środowisku należy uznać za dotrzymane.

Miejsca niedostępne podczas wykonywania pomiarów wskazane zostały w pkt. 9 (Wyniki pomiarów) lub na załączniku przedstawiającym usytuowanie pionów pomiarowych.

Sprawozdanie z badań bez pisemnej zgody laboratorium nie może być powielane inaczej niż w całości.

Wynik przedstawione w niniejszym sprawozdaniu odnoszą się wyłącznie do badanego obiektu i do warunków i konfiguracji urządzeń w dniu wykonywania pomiarów.

## 11. Podstawa prawna

- 1) Ustawa z dnia 27 kwietnia 2001 r. Prawo ochrony środowiska (T. j. Dz. U. z 2025 r., poz. 647 z późn. zm.)
- 2) Rozporządzenie Ministra Zdrowia z dnia 17 grudnia 2019 r. w sprawie dopuszczalnych poziomów pól elektromagnetycznych w środowisku (Dz. U. 2019, poz. 2448)
- 3) Rozporządzenie Ministra Klimatu z dnia 17 lutego 2020 r. w sprawie sposobów sprawdzania dotrzymania dopuszczalnych poziomów pól elektromagnetycznych w środowisku (Dz. U. 2022, poz. 2630),
- 4) Akredytacja nr AB 419 wydana przez Polskie Centrum Akredytacji (wydanie 24, z dnia 14 stycznia 2026r.)

## 12. Spis załączników

- Załącznik 1. Lokalizacja obiektu badań
- Załącznik 2. Usytuowanie pionów (punktów) pomiarowych
- Załącznik 3. Dokumentacja fotograficzna obiektu badań

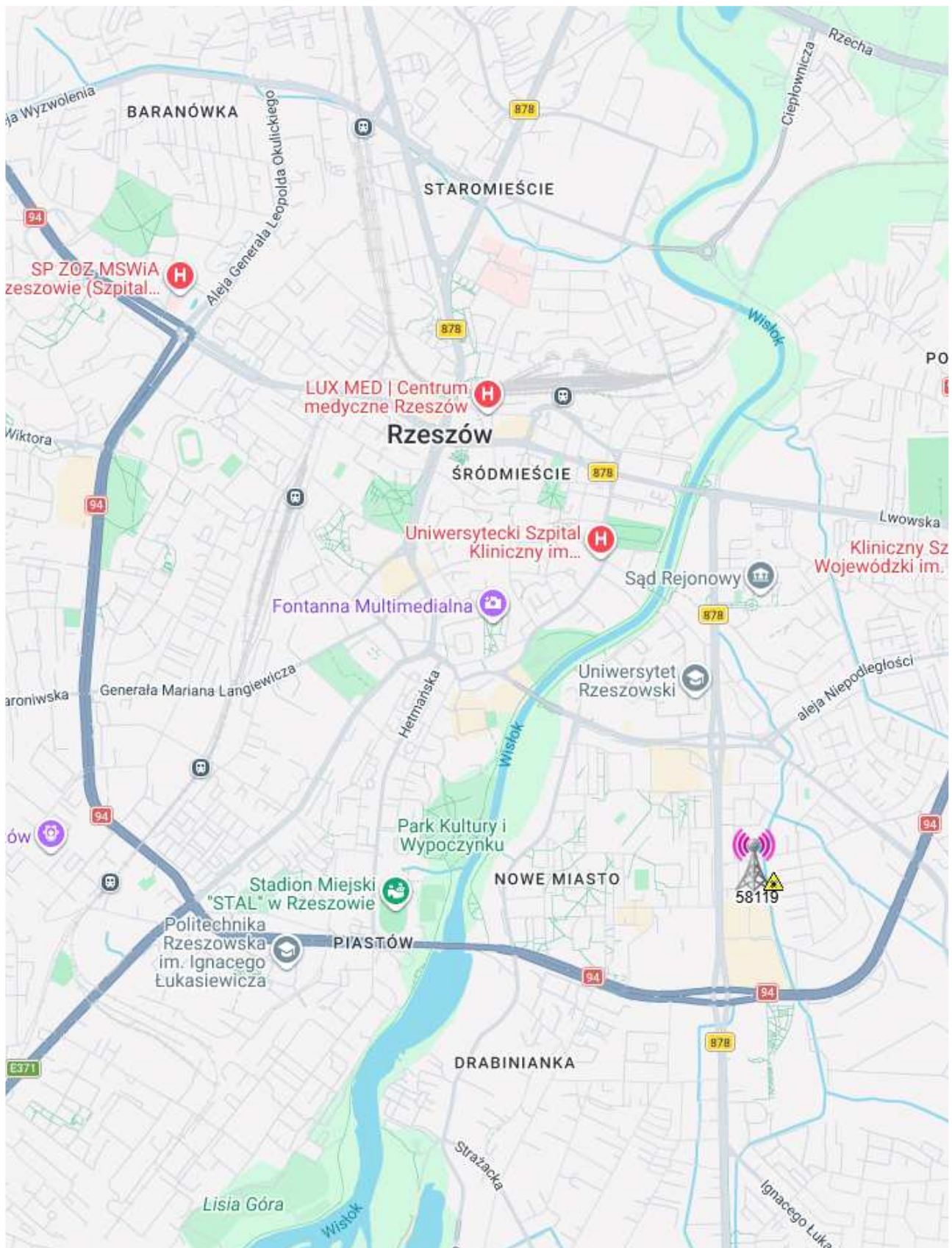
## 13. Data wydania i autoryzowania sprawozdania

Obliczenia i sprawozdanie wykonał :

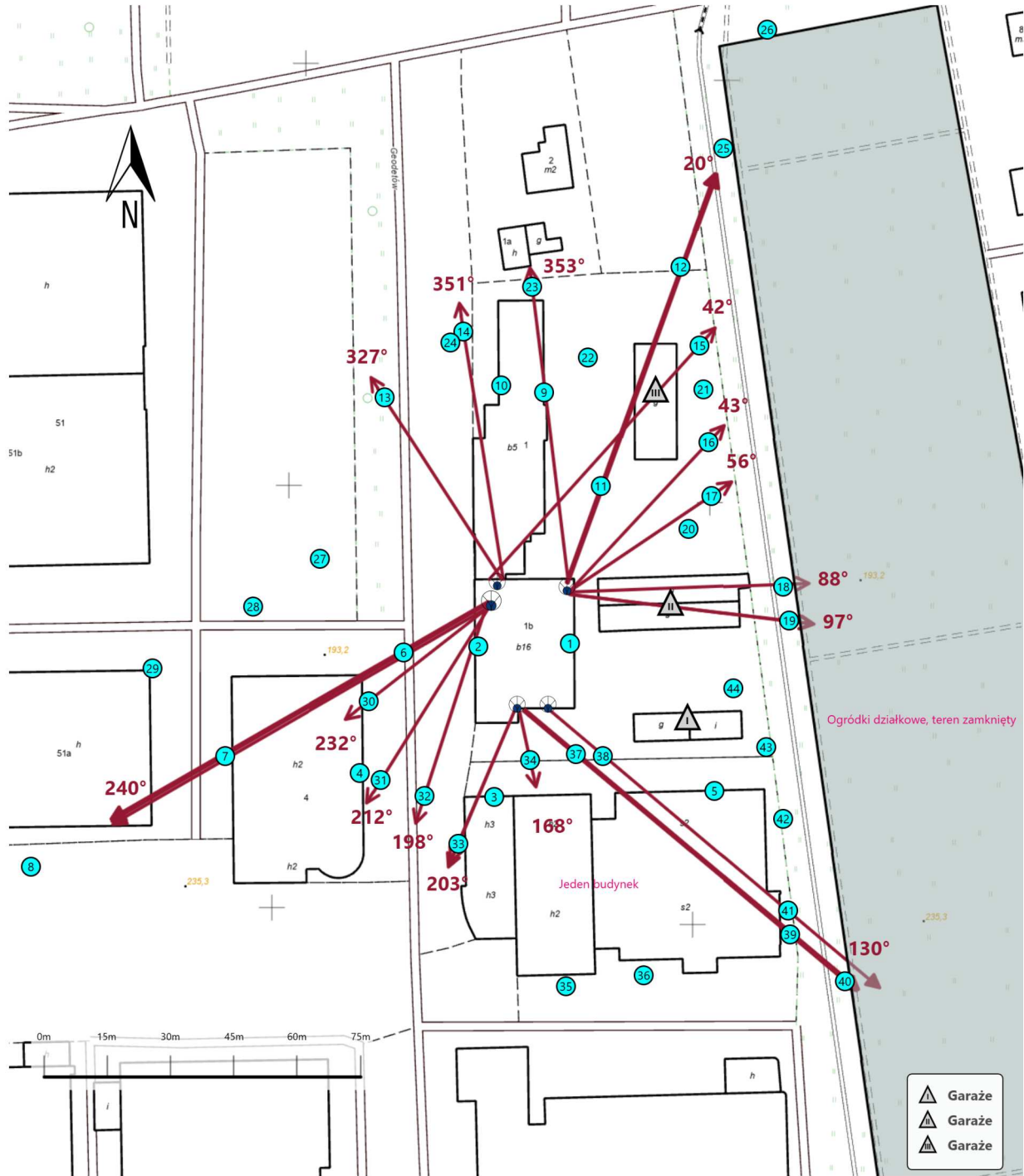
Sprawozdanie autoryzował:
















**Koniec sprawozdania**

Sprawozdanie z badań bez pisemnej zgody laboratorium nie może być powielane inaczej niż w całości.  
Wynik przedstawione w niniejszym sprawozdaniu odnoszą się wyłącznie do badanego obiektu i do warunków i konfiguracji urządzeń w dniu wykonywania pomiarów.



Załącznik nr 1	<p>Instalacja radiokomunikacyjna T-Mobile Polska S.A. 58119 (20119N!) KRZ_RZESZOW_GEODETOW1 Lokalizacja instalacji</p>
----------------	--



Załącznik nr 2	<p>Instalacja radiokomunikacyjna T-Mobile Polska S.A.                  KRZ_RZESZOW_GEODETOW1 (20119N!)</p> <p>Usytuowanie pionów pomiarowych w otoczeniu instalacji radiokomunikacyjnej</p>					
	<p>Legenda:</p> <table style="width: 100%; border: none;"> <tr> <td style="text-align: center;"> Źródło pola elektromagnetycznego</td> <td style="text-align: center;"> Brak dostępu</td> <td style="text-align: center;"> Pion pomiarowy</td> <td style="text-align: center;"> Kierunek oddziaływania anten sektorowych</td> <td style="text-align: center;"> Kierunek oddziaływania anten radioliniowych</td> </tr> </table>	 Źródło pola elektromagnetycznego	 Brak dostępu	 Pion pomiarowy	 Kierunek oddziaływania anten sektorowych	 Kierunek oddziaływania anten radioliniowych
 Źródło pola elektromagnetycznego	 Brak dostępu	 Pion pomiarowy	 Kierunek oddziaływania anten sektorowych	 Kierunek oddziaływania anten radioliniowych		



Załącznik nr 3

Instalacja radiokomunikacyjna T-Mobile Polska S.A.  
58119 (20119N!) KRZ\_RZESZOW\_GEODETOW1

Dokumentacja fotograficzna